

図-1 WR-Tu 試験体

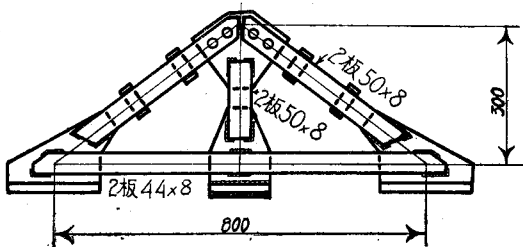
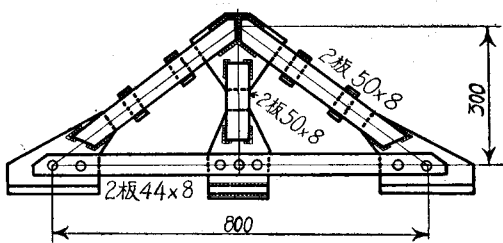


図-2 WR-Tl 試験体



W-T のそれに類似し、荷重が増大すると R-T のそれに類似する。換言すれば小荷重に対しては W-T に匹敵する剛さを有し、大荷重に対しては R-T の如く変形的粘りを発揮するにいたる。

つぎに応力については、ガセットプレートの影響をうけるから、明瞭とは言いがたいけれども、格点における部材連結部の剛度(拘束度)を考慮する方が、2次応力の実測値と計算値とがよく合うようである。なお伸び率 26.2% 以上の鋼材で作った本試験トラスにおいては、溶接による外的拘束残留応力の荷重との重疊作用の影響については、製作の偏差以上には達しないようである。

本研究は文部省科学研究費の補助を得て行つたものである。

(2-22) 塑性変形を考慮した合成桁の応力計算について

准員 日本大学工学部 遠藤篤康

コンクリートスラブが塑性変形を生じると、スラブ自身の応力が減少し鋼桁の応力が増加する。

合成桁に塑性変形が生ずる要素として次の2項目が考えられる。

図-1

- 1) 持続載荷荷重にともなうコンクリートのクリープ。
- 2) コンクリートの硬化にともなう収縮変形。

コンクリートのクリープと硬化収縮による変形は、共に才齡の若い程大であり、その量は時間 t の函数で進行し、その現象は $(1-e^{-t})$ 曲線に従うとみなされるから、これを同時に取扱う。

尚計算の便宜上鋼桁の応力とコンクリートスラブの応力を分けて行い、座標軸は鋼桁の重心 G_s 、およびスラブの重心 G_c に選ぶ。

(1) 鋼桁の応力

鋼桁にはコンクリートの性質に無関係な N 点が存在し、 N 点の応力は、載荷後 t 時間の間に、コンクリートがクリープおよび硬化収縮を生じても応力の変化はなく、塑性変形に無関係の点である。

いま、 N 点の座標を G_s より f だけ離れた点とし、その点の応力を σ_N とすれば、

$$f = \frac{I_s}{a \cdot A_s} \quad \sigma_N = \frac{M}{a \cdot A_s} \quad (1)$$

となり、(1)式の I_s 、 A_s 、 M は、鋼桁の重心軸を通る慣性モーメント、鋼桁の断面積、外力曲げモーメントである。尚鋼桁の任意点の応力を σ_s とすれば、 σ_s の応力の方程式は塑性変形を考慮しても、 f 、 σ_N 点を通過するから、方向係数 \mathfrak{M} の函数で表わされる。

$$\sigma_s = \frac{1}{\mathfrak{M}}(y-f) + \sigma_N \quad (2)$$

$$(2) \text{式で } \frac{1}{\mathfrak{M}} = \frac{M_s}{I_s}, \quad M_s = M_{s0} + M_{st}, \quad M_{s0} = \frac{I_s}{I_v} \cdot M, \quad M_{st} = a \cdot N_{st} = \left(\frac{N_{sn}}{\varphi_n} + N_{c0} \right) (1 - e^{-as \varphi t})$$

$$N_{c0} = \frac{S_v}{I_v} \cdot M, \quad \alpha_s = \frac{A_s \cdot I_s}{A_v \cdot I_v}, \quad \varphi_t = \varphi_n (1 - e^{-t}), \quad N_{sn} = \varepsilon_s \cdot E_c \cdot A_c$$

